

Inducción experimental transplacentaria y neonatal de tumores nerviosos a ratas Wistar con etilnitrosourea

Teresa Ribalta Farrés

ADVERTIMENT. La consulta d'aquesta tesi queda condicionada a l'acceptació de les següents condicions d'ús: La difusió d'aquesta tesi per mitjà del servei TDX (www.tesisenxarxa.net) ha estat autoritzada pels titulars dels drets de propietat intel·lectual únicament per a usos privats emmarcats en activitats d'investigació i docència. No s'autoritza la seva reproducció amb finalitats de lucre ni la seva difusió i posada a disposició des d'un lloc aliè al servei TDX. No s'autoritza la presentació del seu contingut en una finestra o marc aliè a TDX (framing). Aquesta reserva de drets afecta tant al resum de presentació de la tesi com als seus continguts. En la utilització o cita de parts de la tesi és obligat indicar el nom de la persona autora.

ADVERTENCIA. La consulta de esta tesis queda condicionada a la aceptación de las siguientes condiciones de uso: La difusión de esta tesis por medio del servicio TDR (www.tesisenred.net) ha sido autorizada por los titulares de los derechos de propiedad intelectual únicamente para usos privados enmarcados en actividades de investigación y docencia. No se autoriza su reproducción con finalidades de lucro ni su difusión y puesta a disposición desde un sitio ajeno al servicio TDR. No se autoriza la presentación de su contenido en una ventana o marco ajeno a TDR (framing). Esta reserva de derechos afecta tanto al resumen de presentación de la tesis como a sus contenidos. En la utilización o cita de partes de la tesis es obligado indicar el nombre de la persona autora.

WARNING. On having consulted this thesis you're accepting the following use conditions: Spreading this thesis by the TDX (www.tesisenxarxa.net) service has been authorized by the titular of the intellectual property rights only for private uses placed in investigation and teaching activities. Reproduction with lucrative aims is not authorized neither its spreading and availability from a site foreign to the TDX service. Introducing its content in a window or frame foreign to the TDX service is not authorized (framing). This rights affect to the presentation summary of the thesis as well as to its contents. In the using or citation of parts of the thesis it's obliged to indicate the name of the author.

R. 194.504

INDUCCION TRANSPLACENTARIA Y NEONATAL
DE TUMORES NERVIOSOS EN RATAS WISTAR
CON ETILNITROSOUREA

T E S I S D O C T O R A L

TERESA M. RIBALTA FARRES

DIRECTOR: PROF. DR. A. CARDESA

FACULTAD DE MEDICINA
UNIVERSIDAD DE BARCELONA
JULIO 1985

Fig.96:

Glioma mixto cerebral. Presencia de abundantes células positivas a la PAFG, con rasgos morfológicos de células astrocitarias.

Fig.97:

Imagen análoga a la anterior. Nótese la intensa positividad alrededor de un vaso sanguíneo.

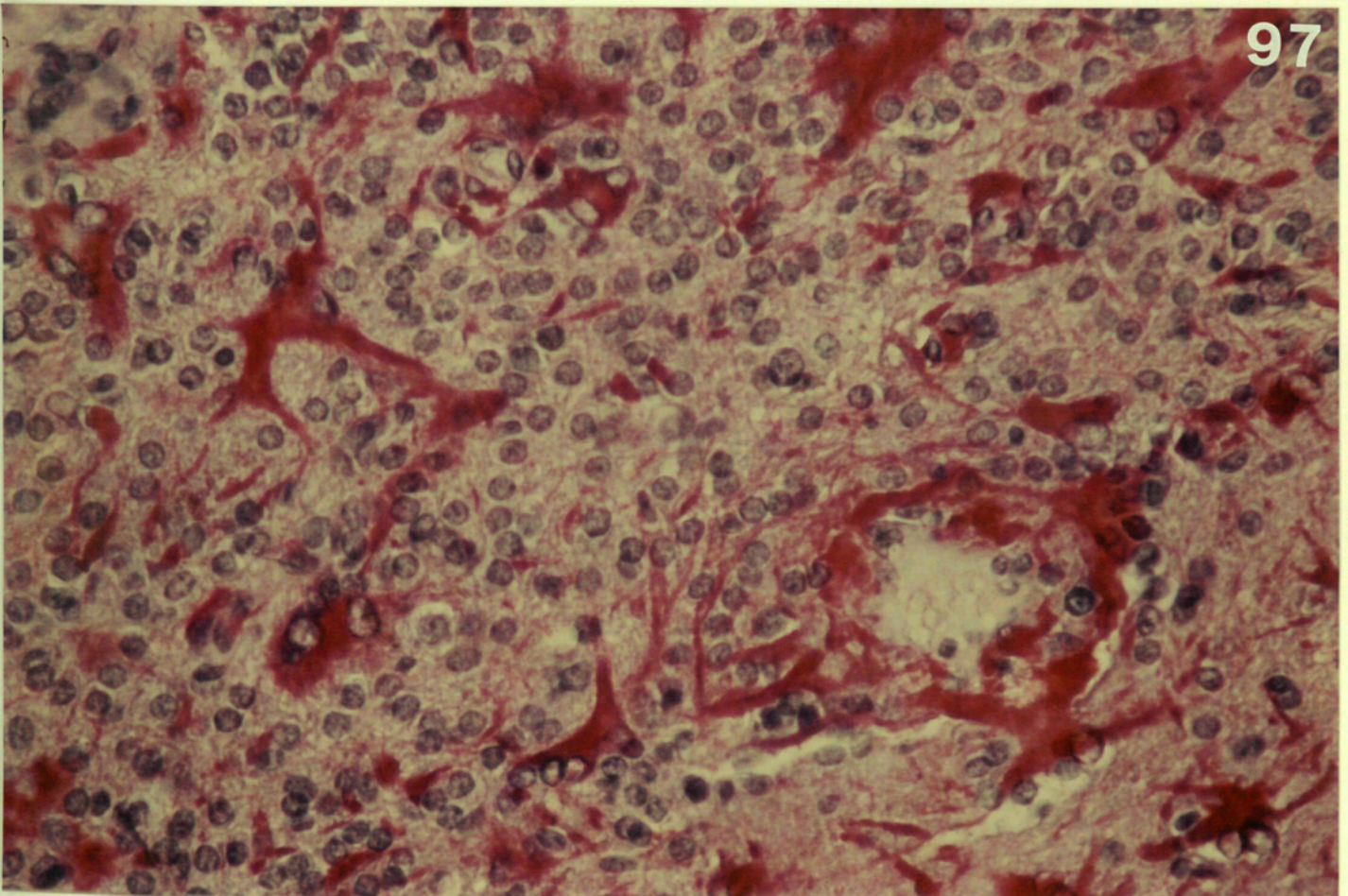
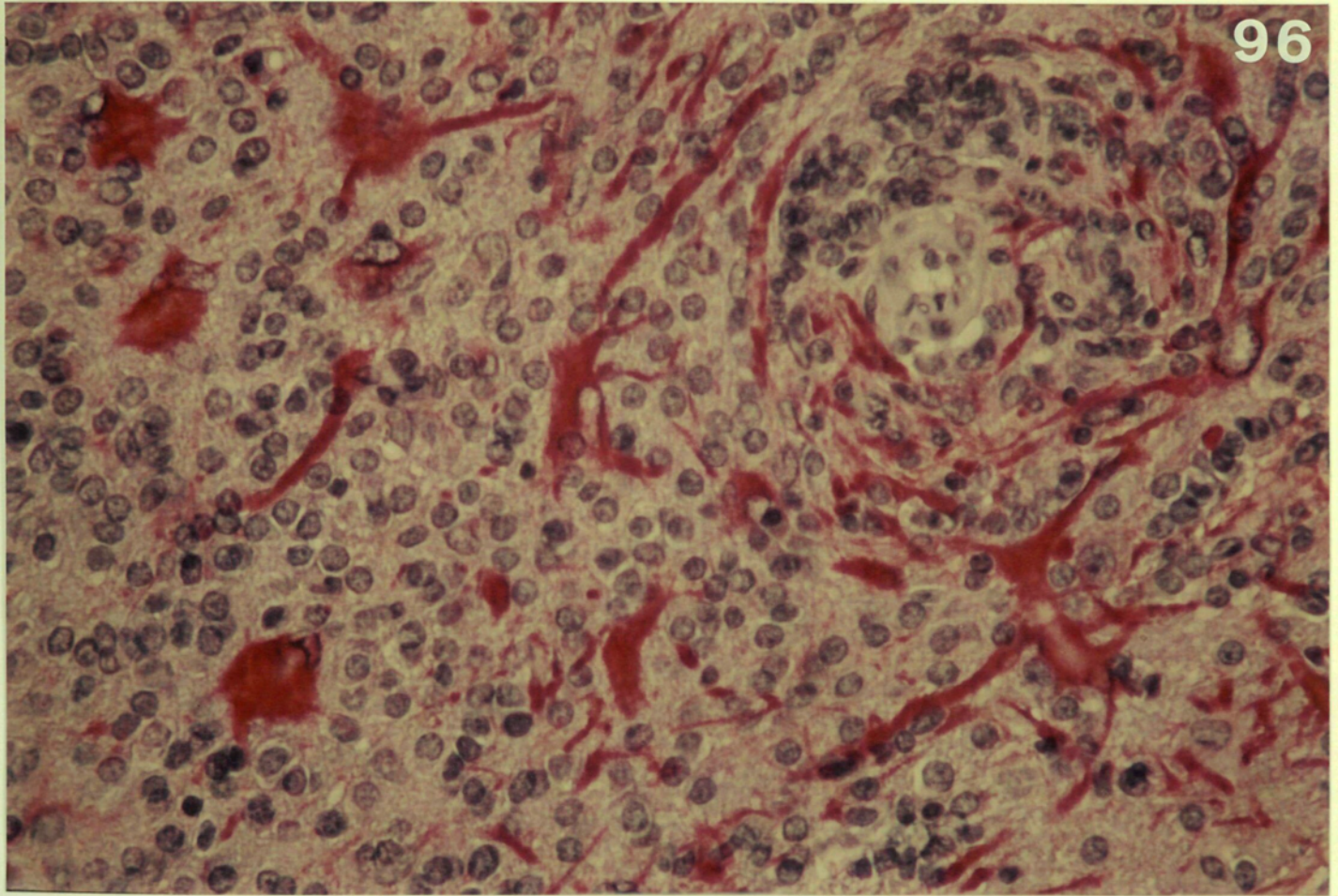


Fig.98:

Glioma mixto. Presencia de células PAFG positivas en el seno del tumor , junto con ausencia de gliosis peritumoral.

Fig.99:

Glioma cerebral mixto. Presencia de células con morfología intermedia entre oligodendrocitos y astrocitos, que muestran una positividad de intensidad moderada en su citoplasma.

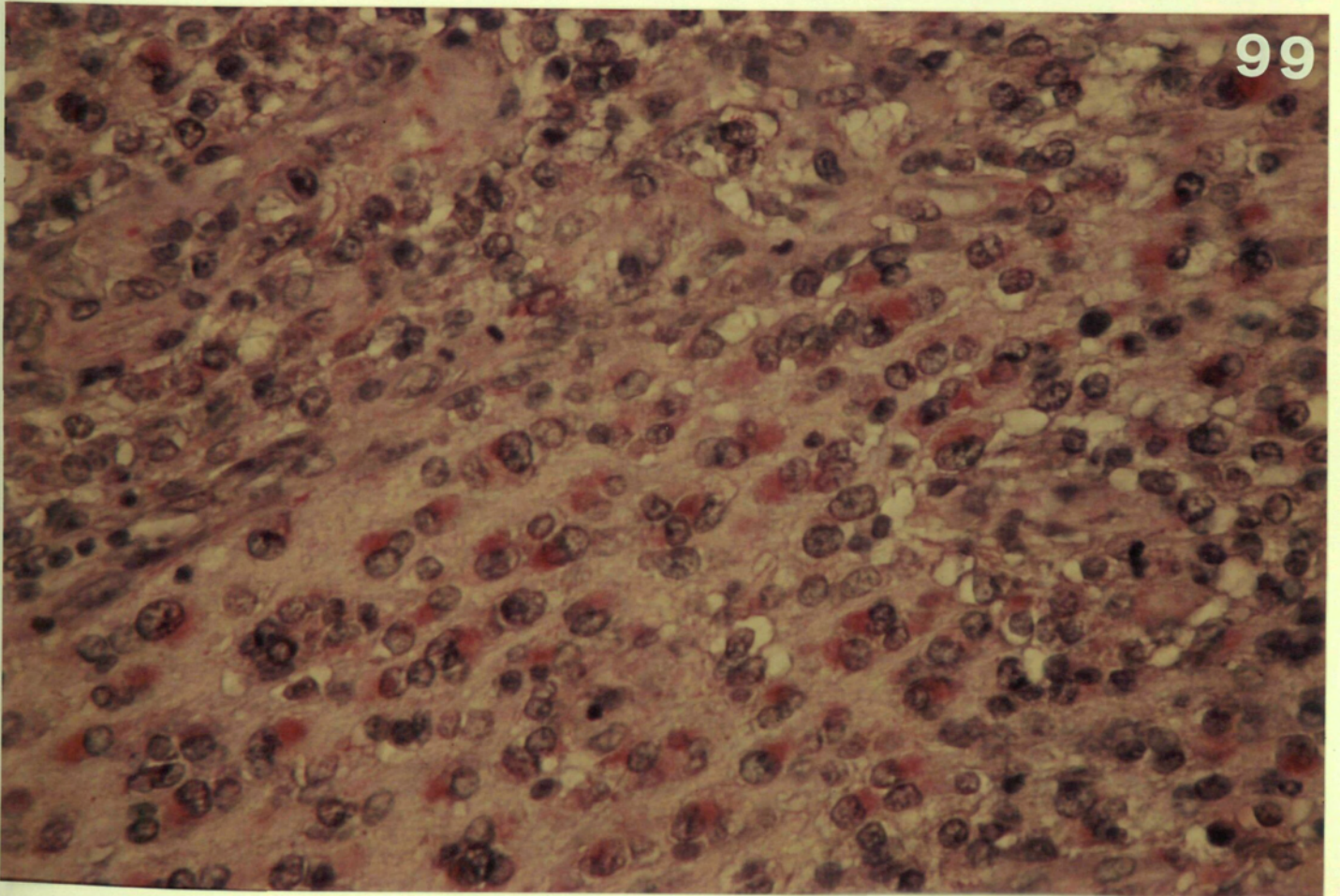
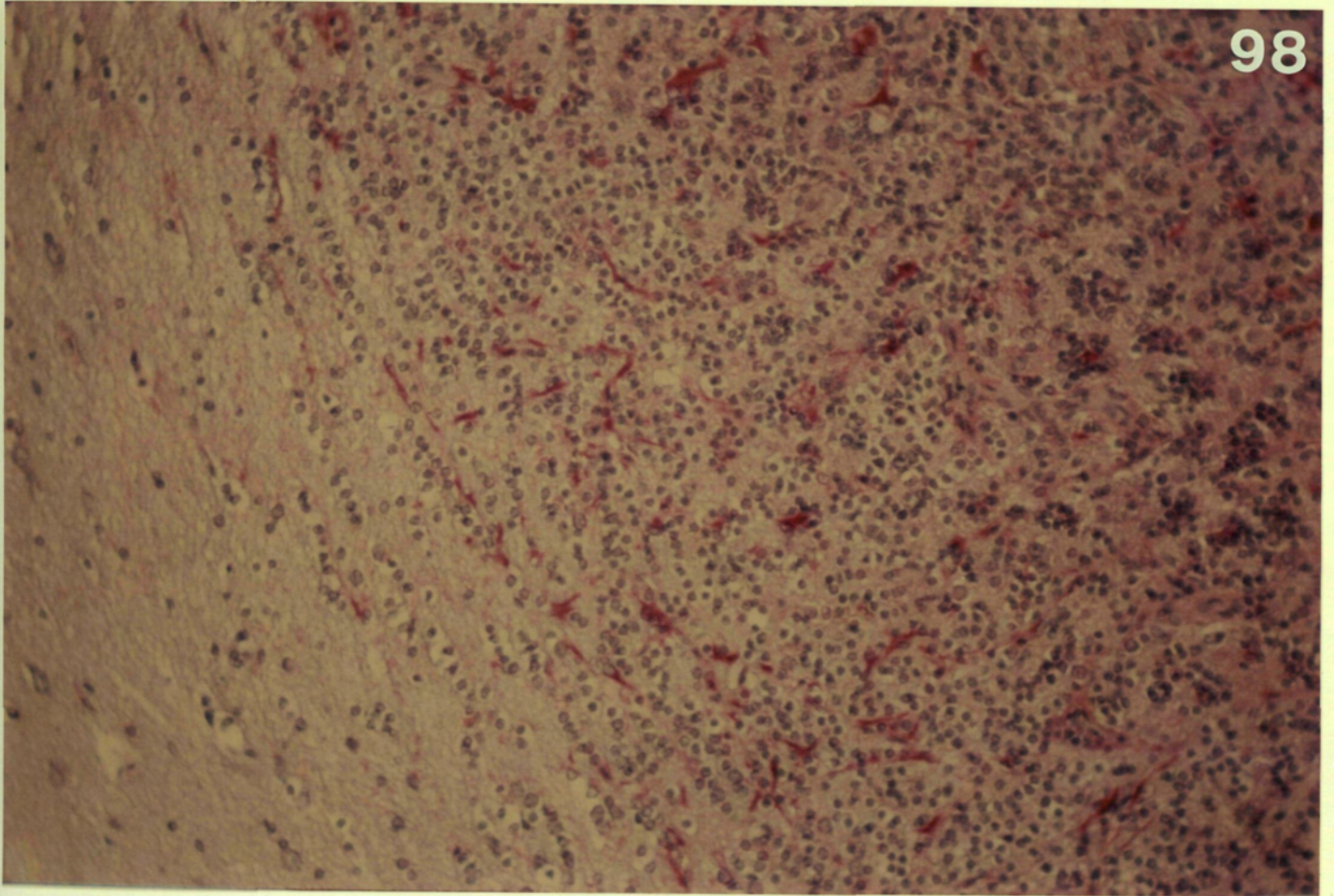


Fig.100:

Infiltración meníngea masiva por un glioma intraparenquimatoso cerebral. La positividad lineal que se observa en el centro de la imagen corresponde a la membrana pio-glial de la superficie cerebral. Por encima de la misma se identifican algunas células intensamente positivas a la PAFG.

Fig.101:

Detalle de la imagen anterior.

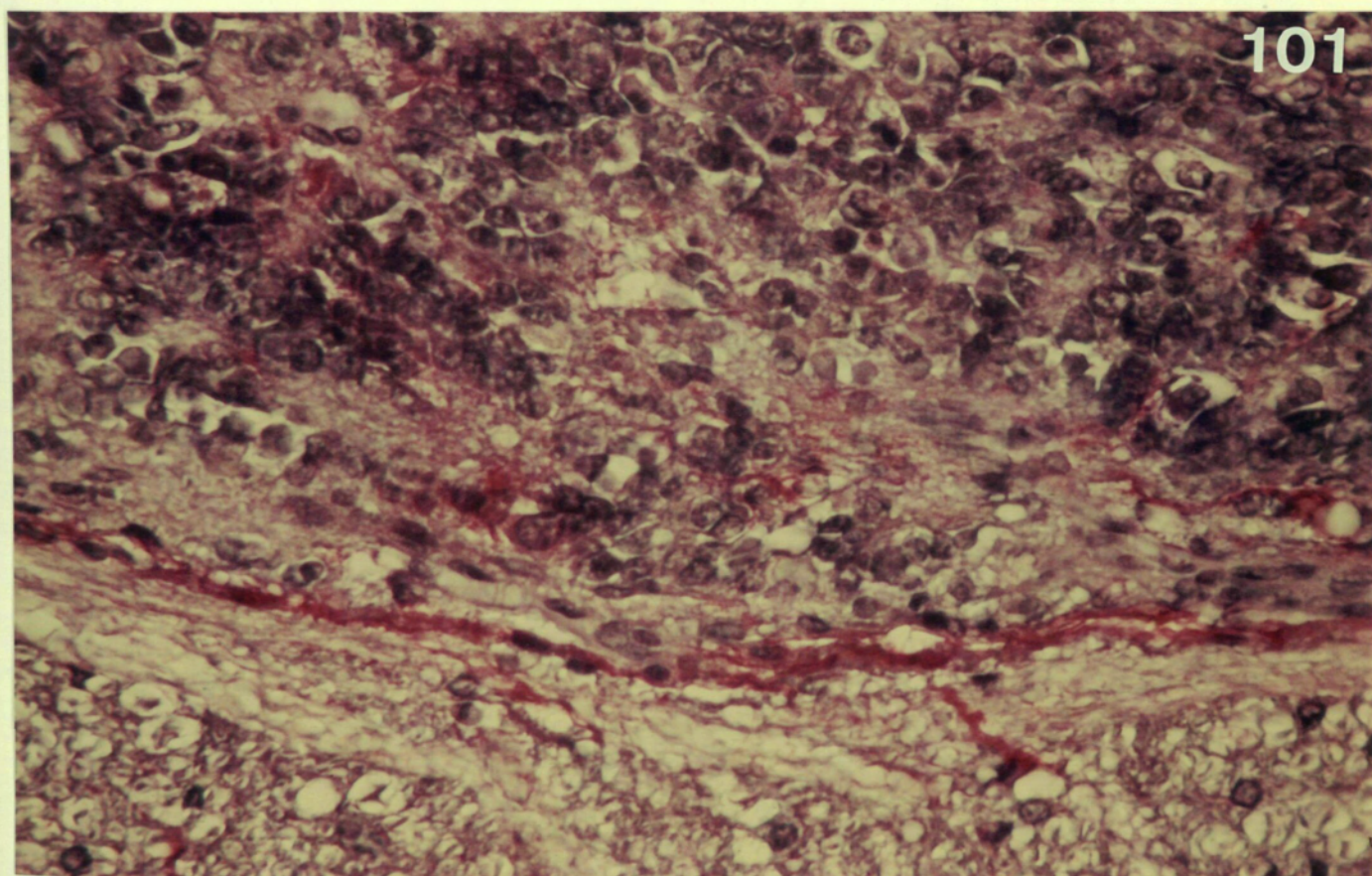
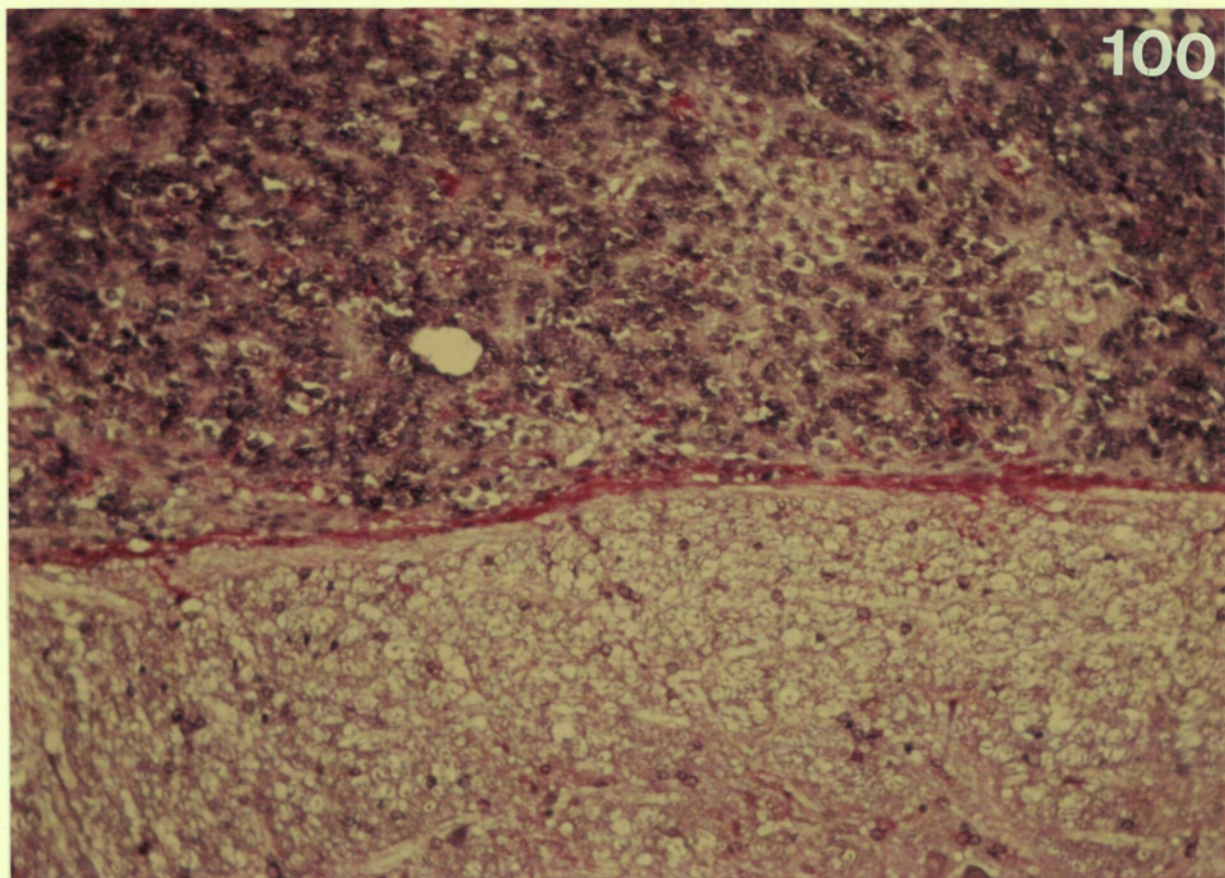


Fig.102:

Detección de Proteína S-100 en el parénquima cerebral normal. Los astrocitos se tiñen positivamente mientras que las neuronas, los oligodendrocitos y las células de la microglía son totalmente negativas.

Fig.103:

Proteína S-100 en un glióma cerebral mixto. Pueden identificarse células de aspecto astrocitario claramente positivas, entremezcladas con células oligodendrogiales y algunas neuronas, negativas para esta determinación.

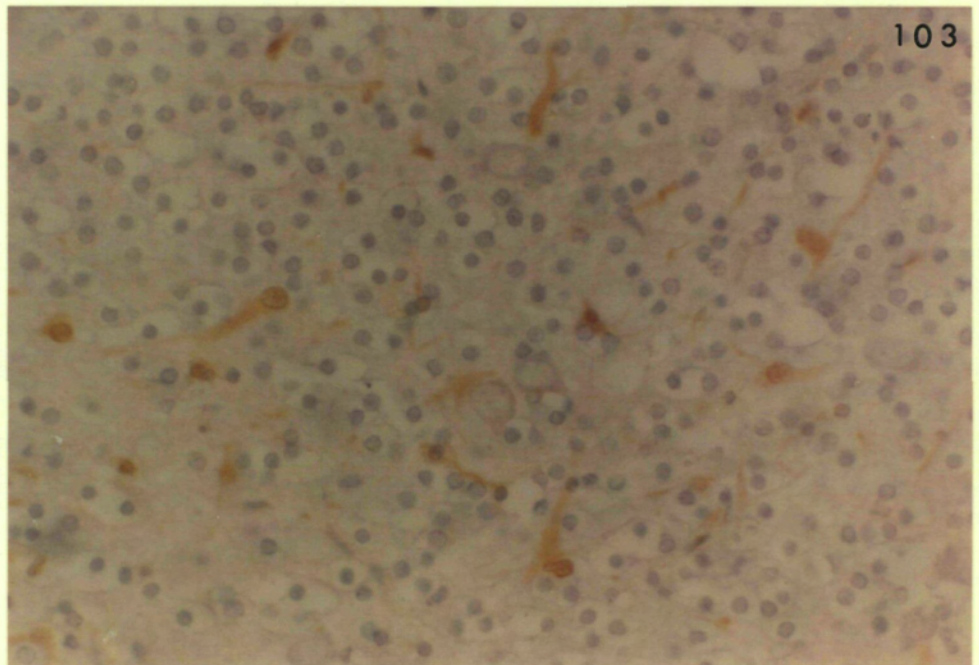
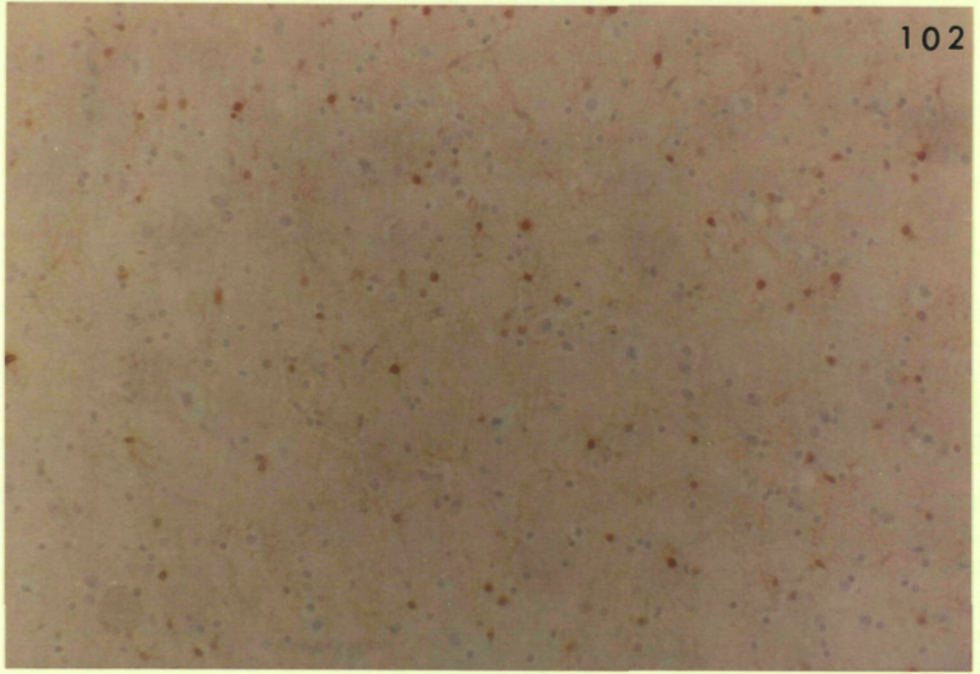


Fig. 104:

Proteína S-100. Invasión ventricular por un glioma mixto que contiene algunas células positivas. La formación lineal positiva que cruza transversalmente la imagen, corresponde al revestimiento ependimario, parcialmente destruido en la mitad derecha de la fotografía.

Fig. 105:

Detalle de la Figura anterior. A la izquierda se identifican células muy positivas compatibles con astrocitos en el seno de la proliferación oligodendroglial infiltrante.

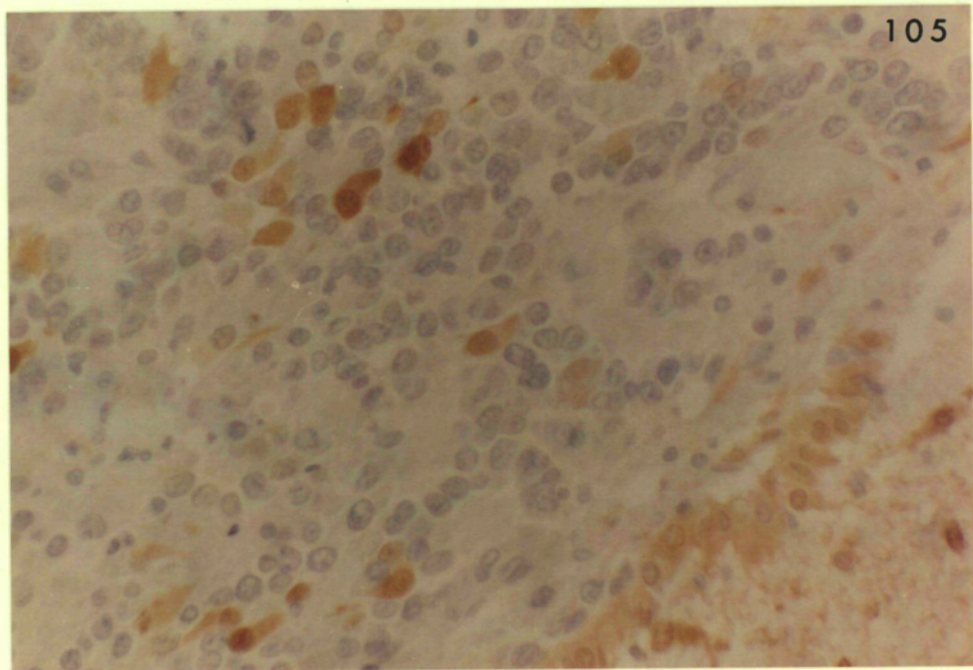
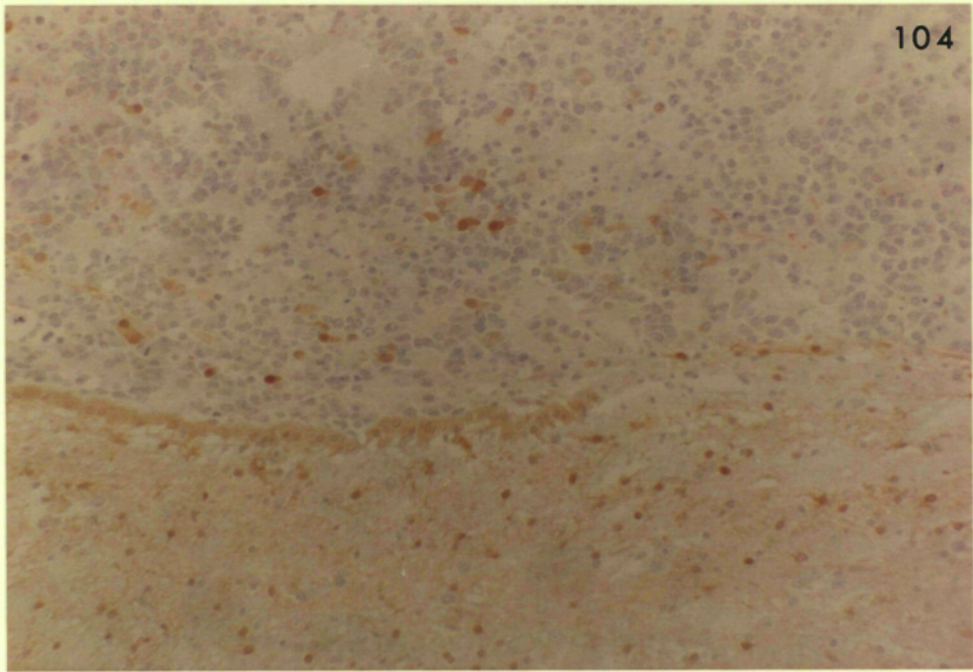


Fig. 106:

Proteína S-100. Sección transversal de un nervio mielínico periférico normal. Las vainas de Schwann de las fibras nerviosas son claramente positivas. Las células del perineuro son negativas para esta determinación.

Fig.107:

Proteína S-100. Tumor de vainas nerviosas con estructuras plexiformes. Obsérvese el aspecto similar al nervio de la figura anterior que muestran estas formaciones.

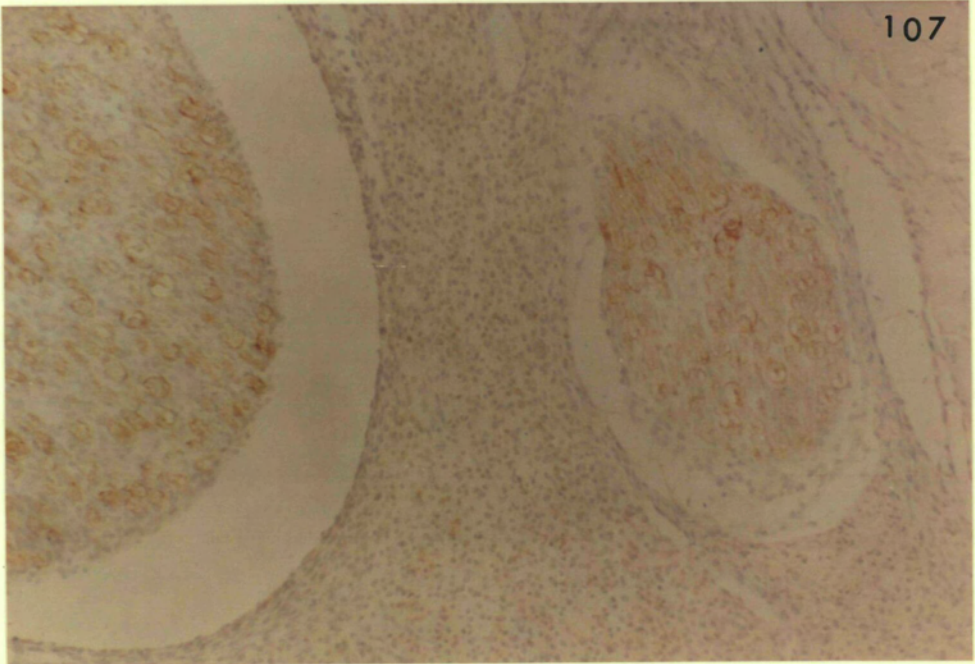
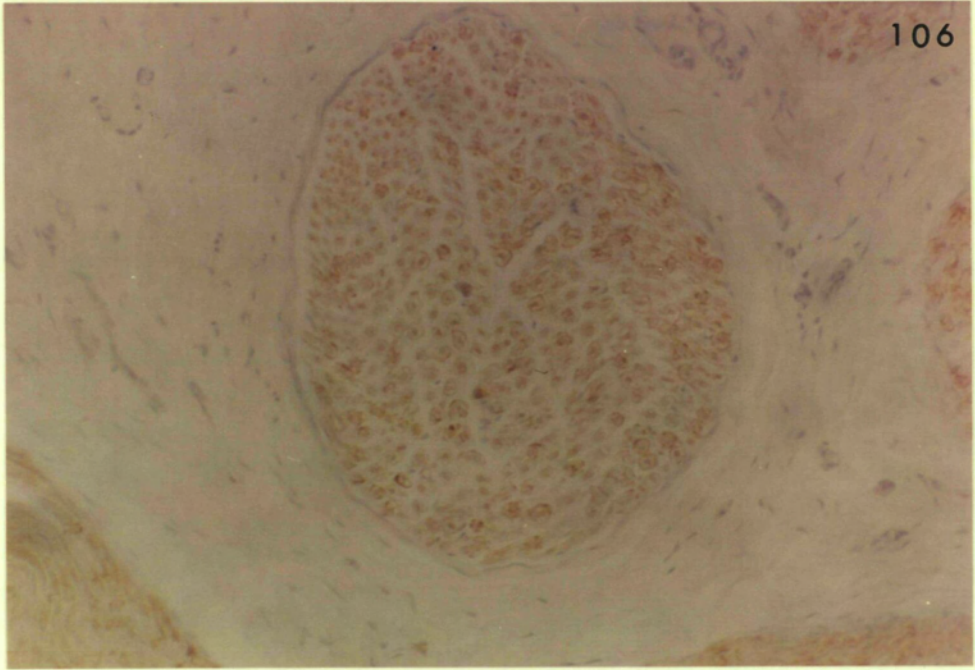


Fig.108:

Proteína S-100. Detalle de una estructura plexiforme aberrante, con fibras nerviosas mielínicas disecadas por las células tumorales.

Fig.109:

Proteína S-100. Infiltración muscular periférica por un tumor de vainas nerviosas que separa las fibras y engloba pequeños troncos nerviosos intramusculares.

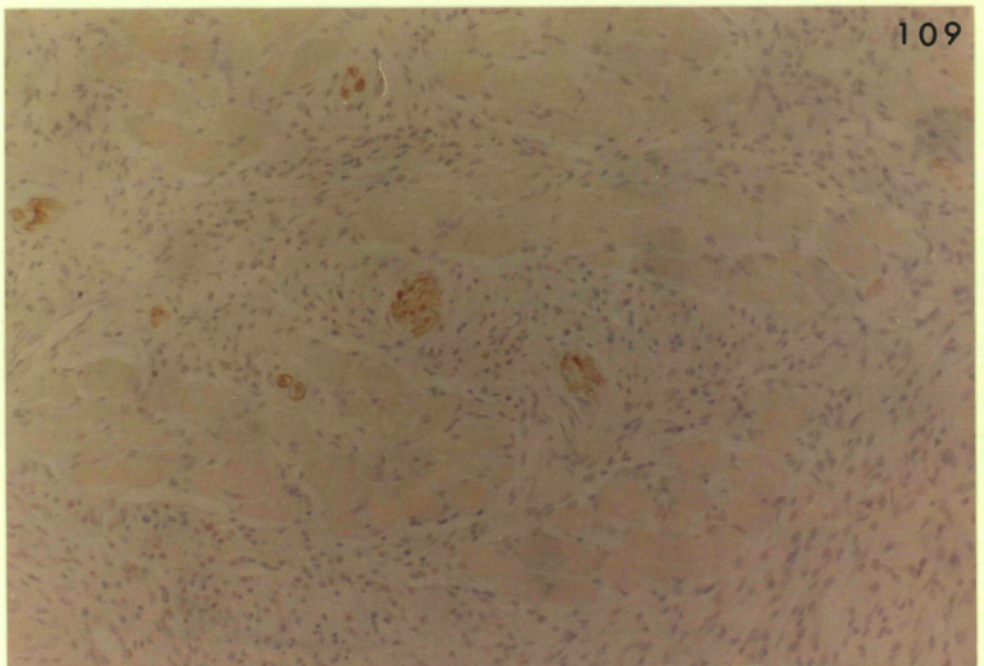
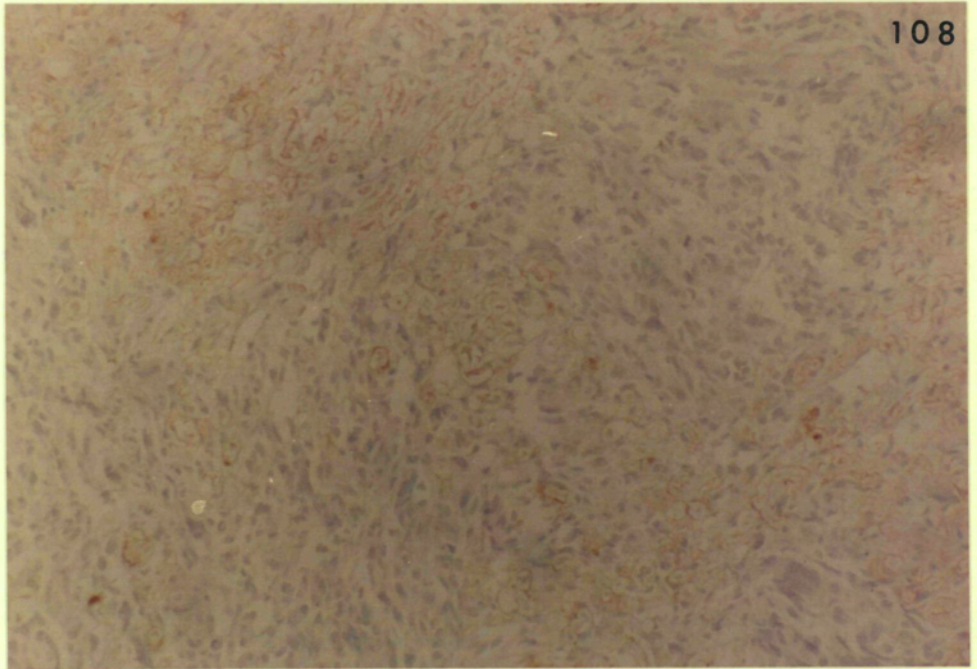


Fig.110:

Aspecto ultraestructural general de un glioma cerebral
constituído básicamente por células oligodendrogliales.

Fig.111:

Mismo caso anterior. Células tumorales redondeadas que
flotan en un amplio espacio extracelular.

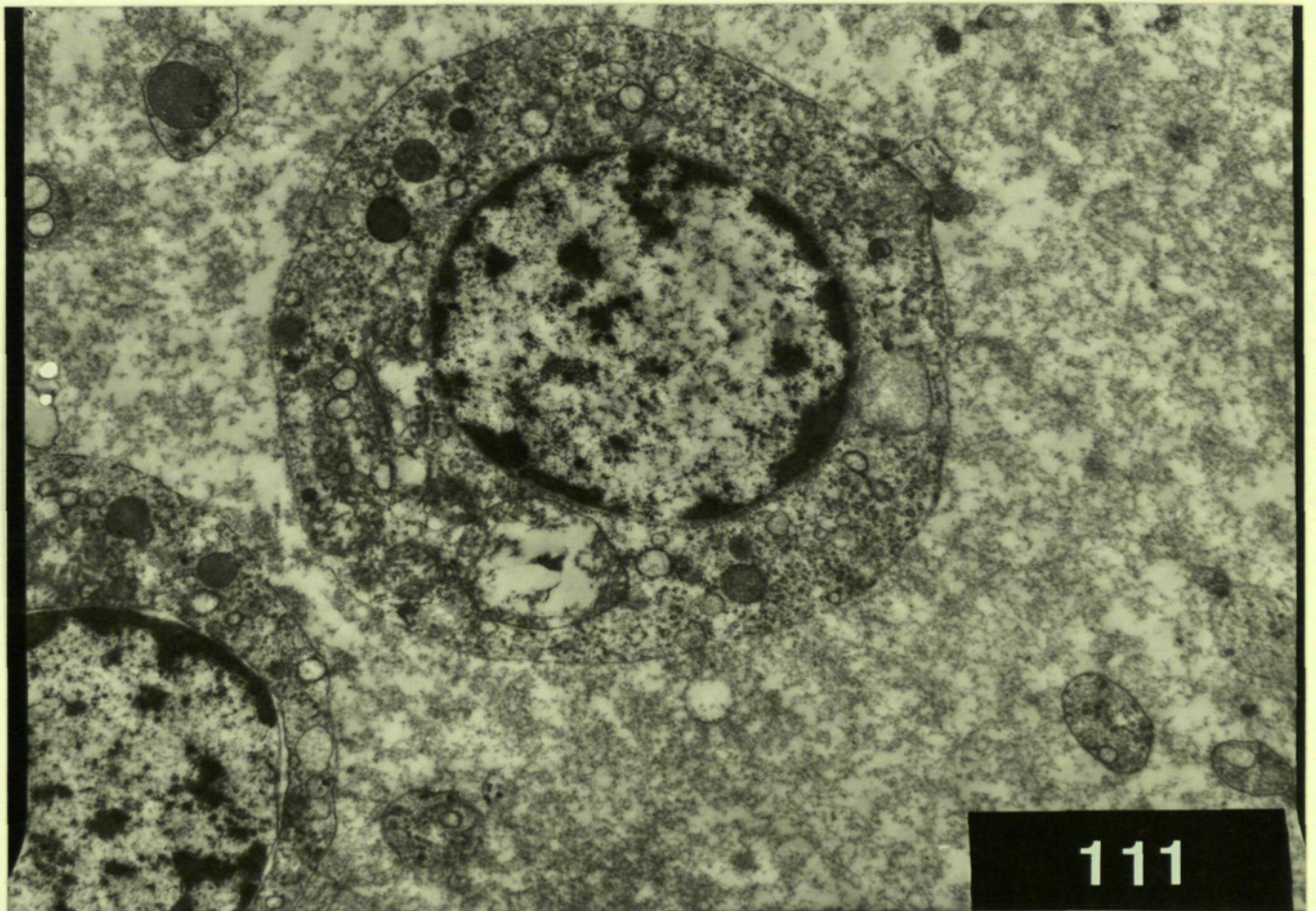
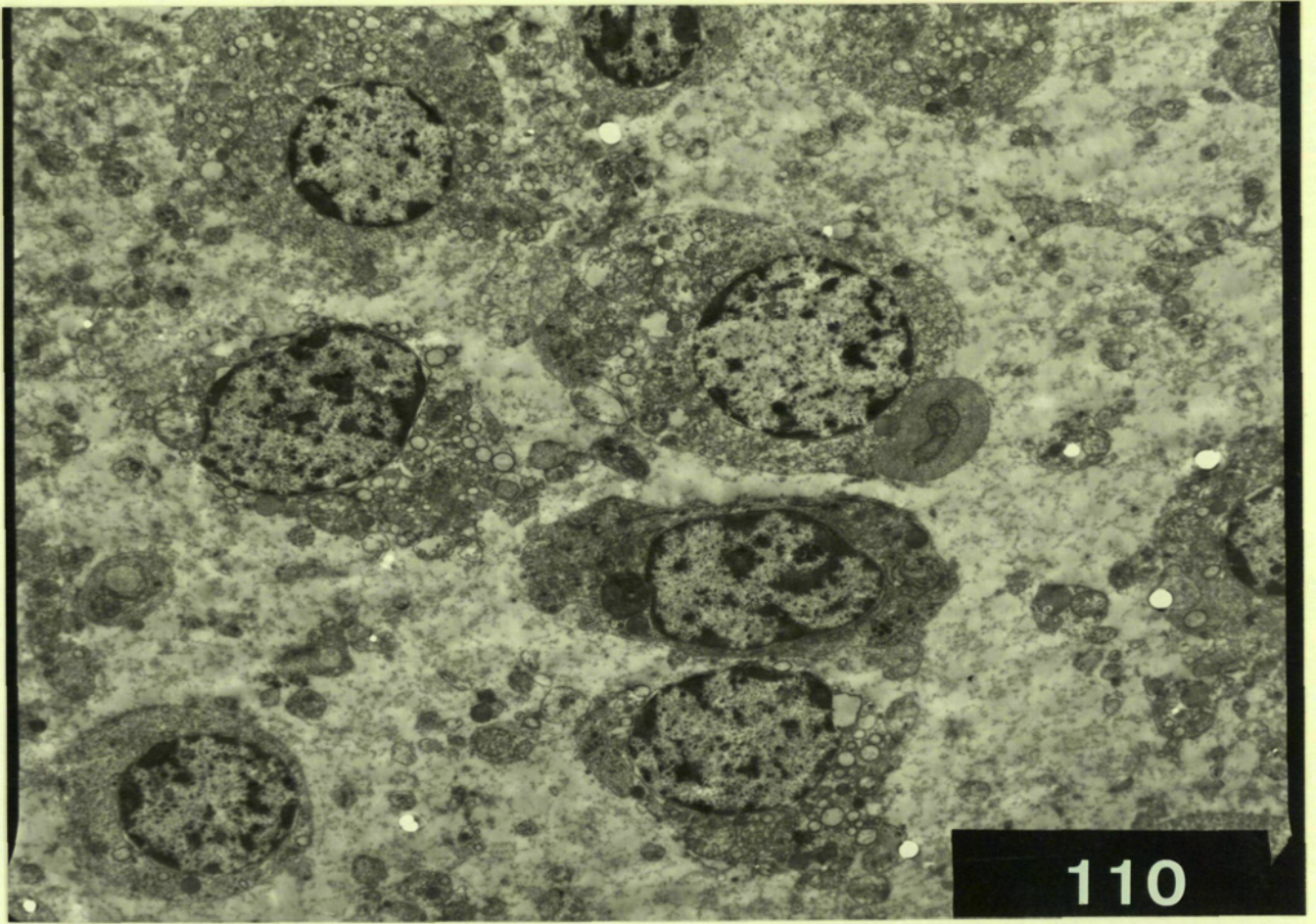
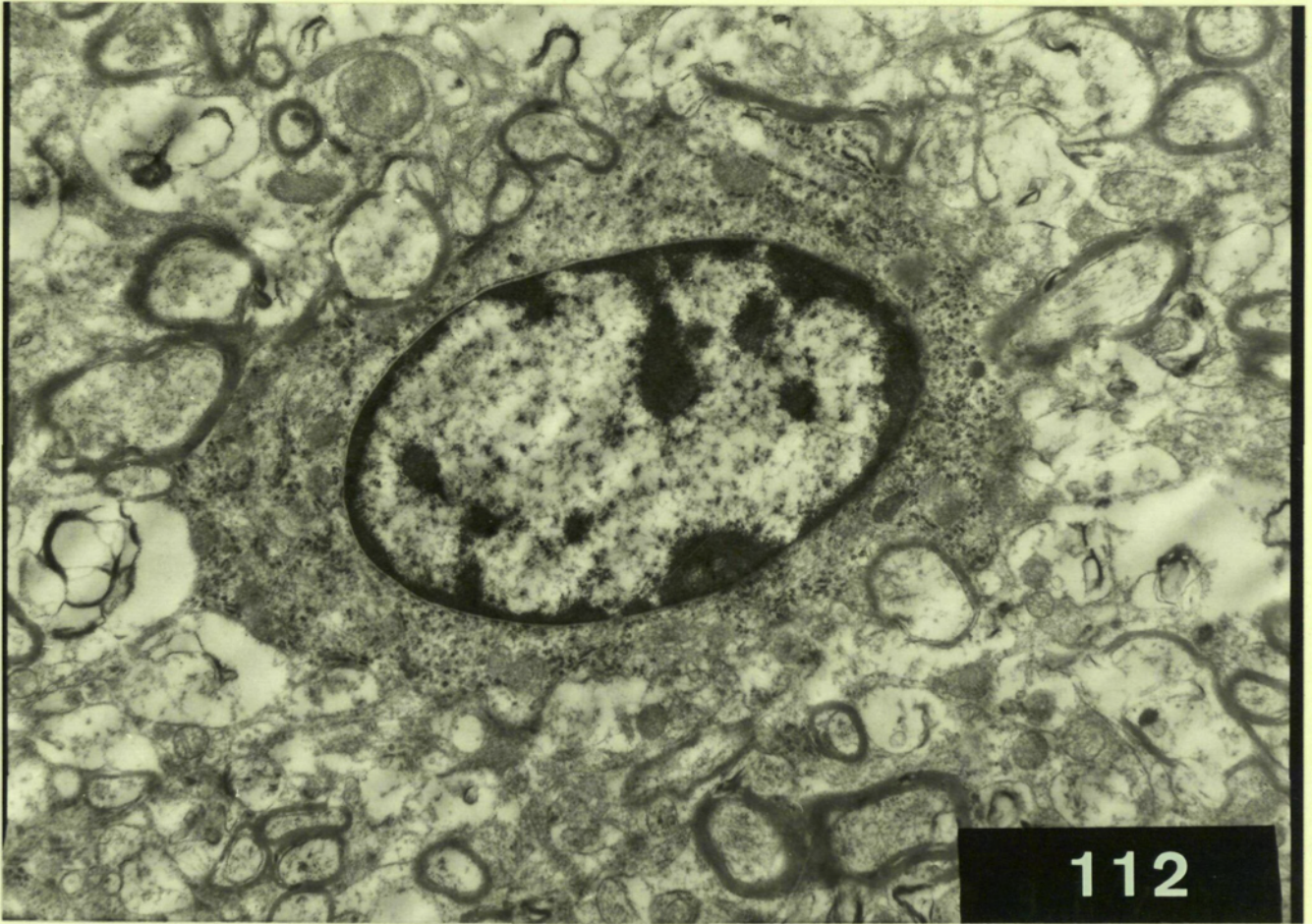


Fig.112:

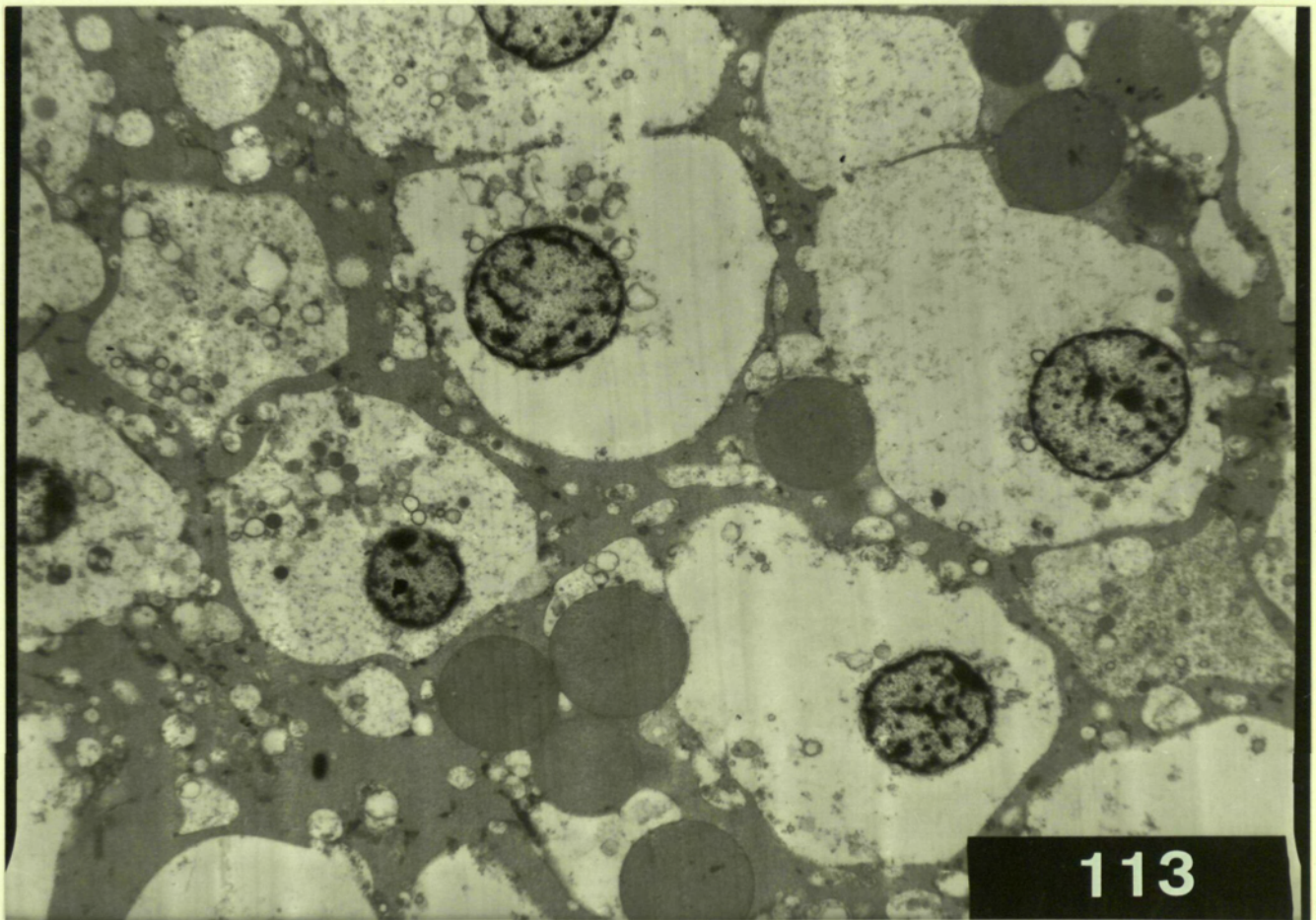
Oligodendrocito interfascicular de un área cerebral ve
cina a un glioma.

Fig.113:

Artefacto característico de las células de estirpe oli
godendroglial equivalente al aspecto óptico de células
claras.



112



113

Fig.114:

Segmento vascular de un glioma cerebral. Las células endoteliales están separadas por un abundante material amorfo de aspecto plasmático.

Fig.115:

Segmento vascular de un glioma cerebral de aspecto prácticamente normal. Las prolongaciones astrocitarias periféricas muestran un marcado grado de edema intracelular **(A)**.

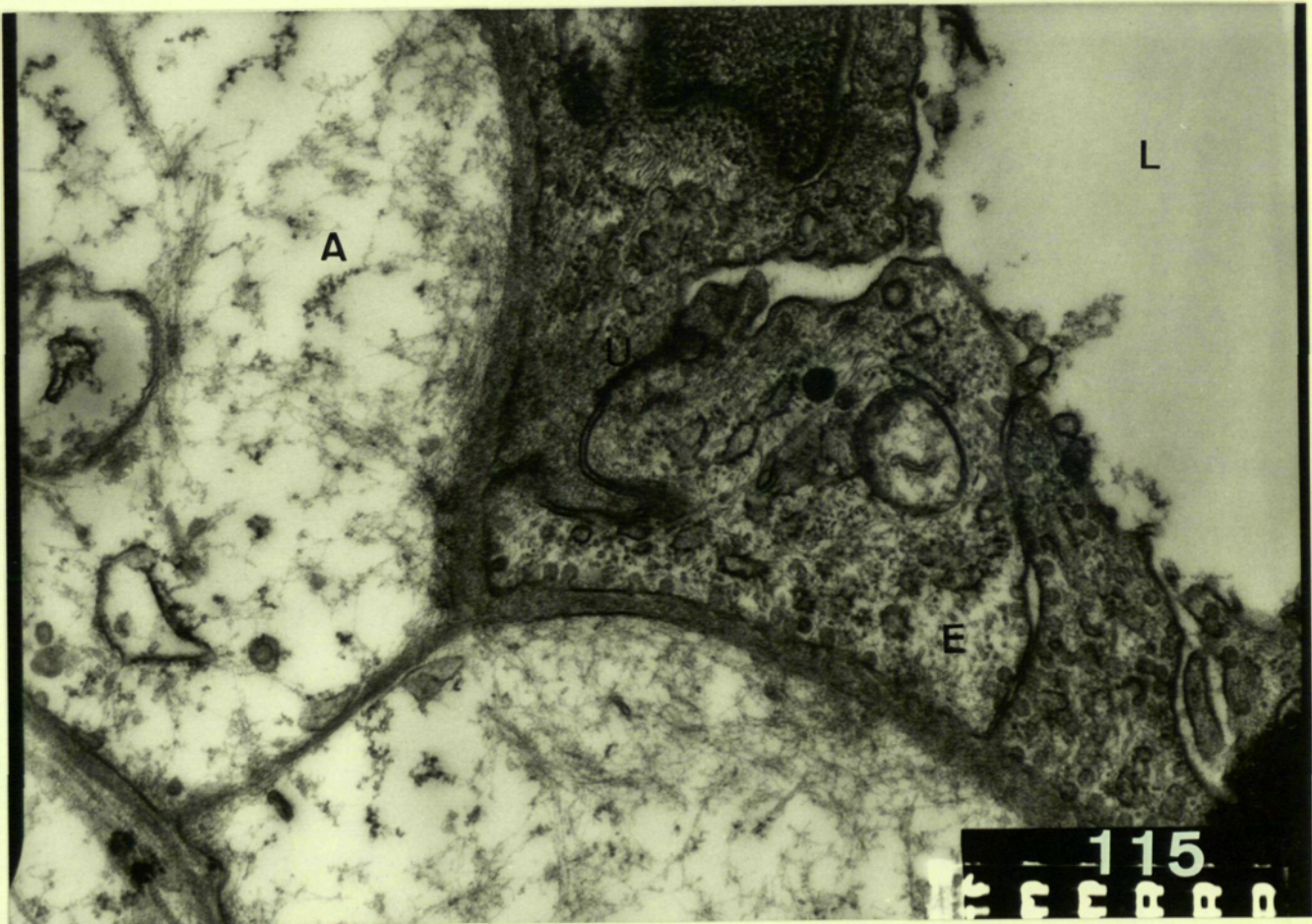
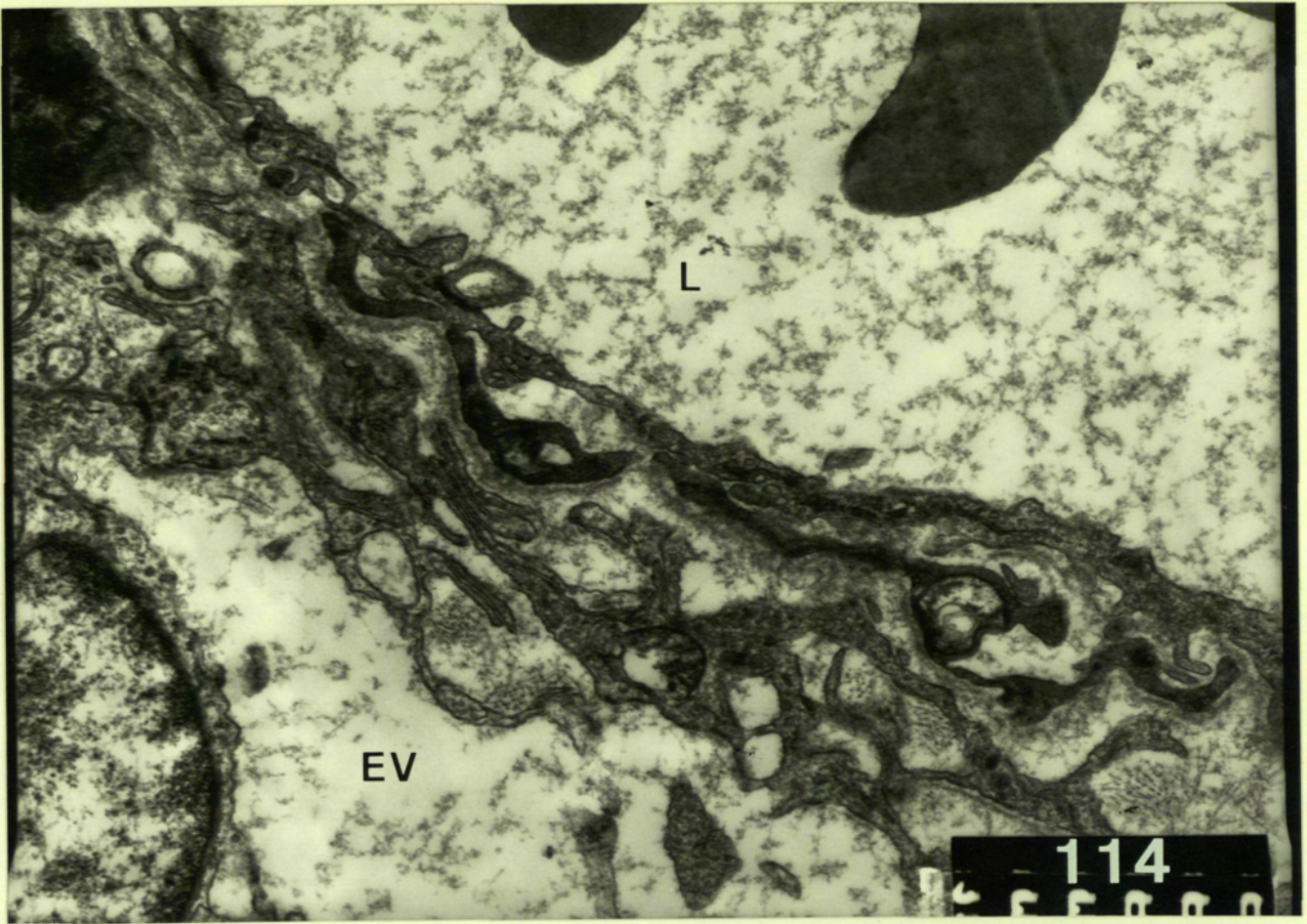
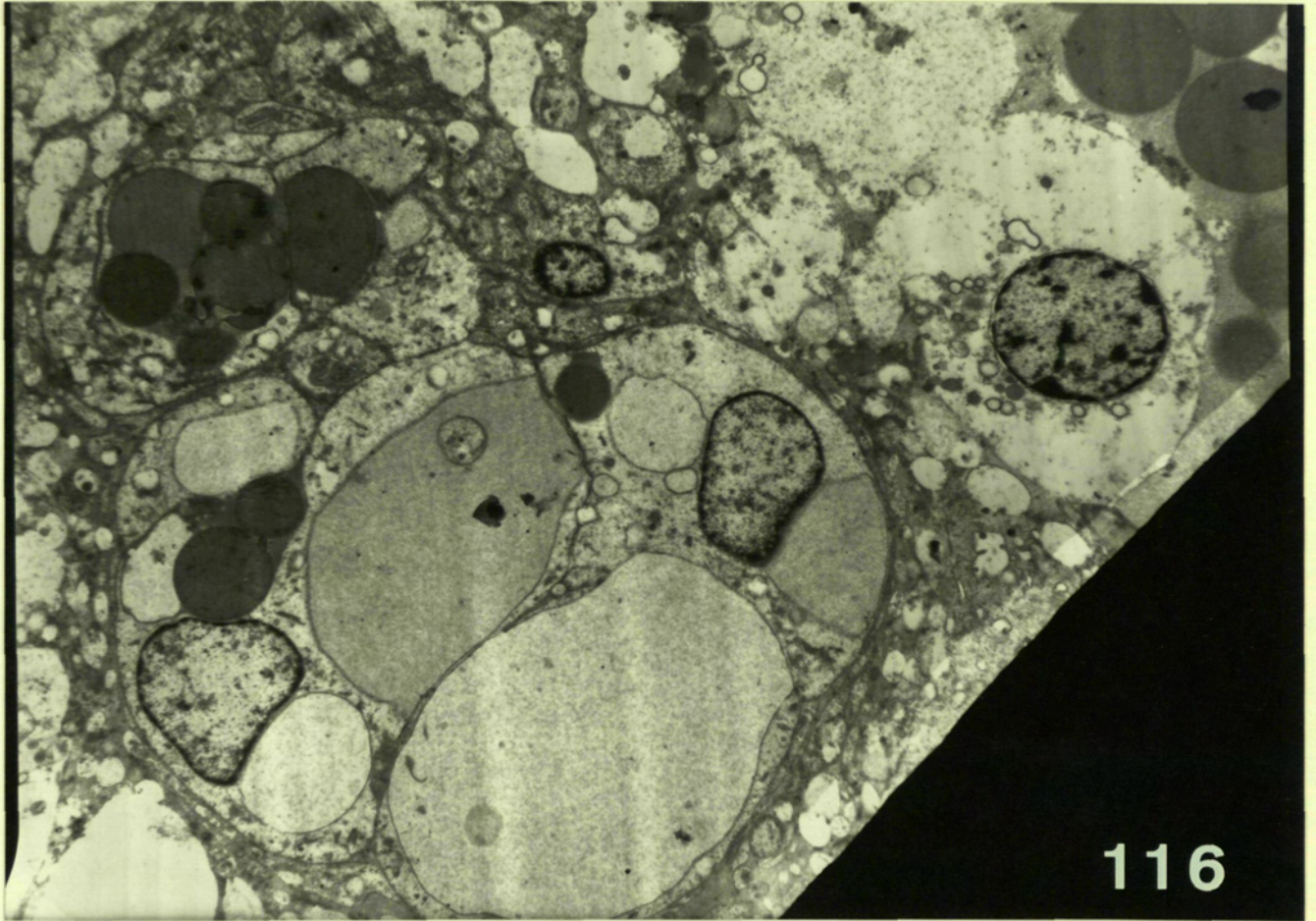


Fig.116:

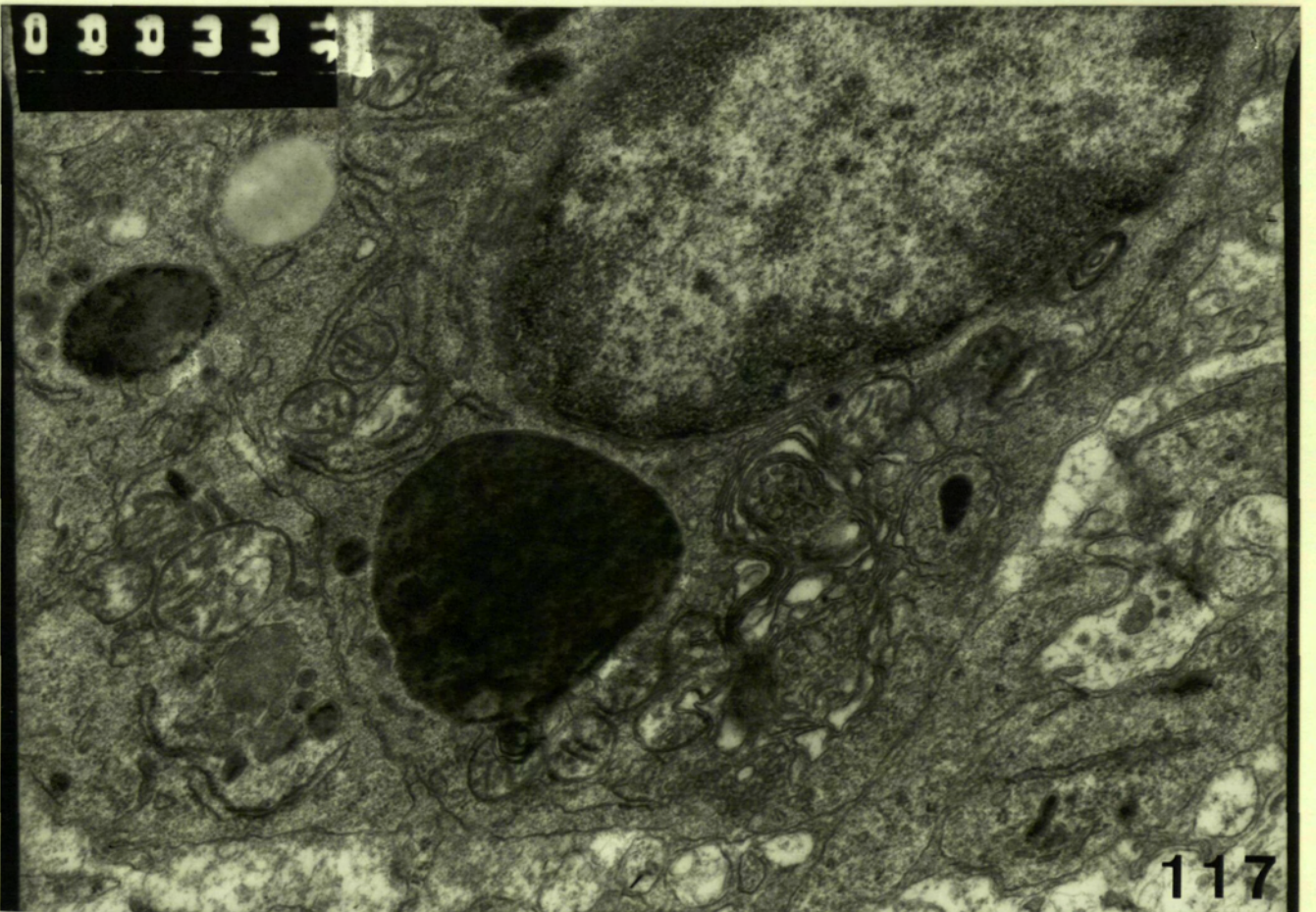
Glioma cerebral. Vaso glomeruloide con marcada tumefacción endotelial que reduce considerablemente la luz.

Fig.117:

Glioma cerebral. Célula tumoral con reduplicación intracelular de membranas en forma de vainas de mielina abortivas.



116



00033

117

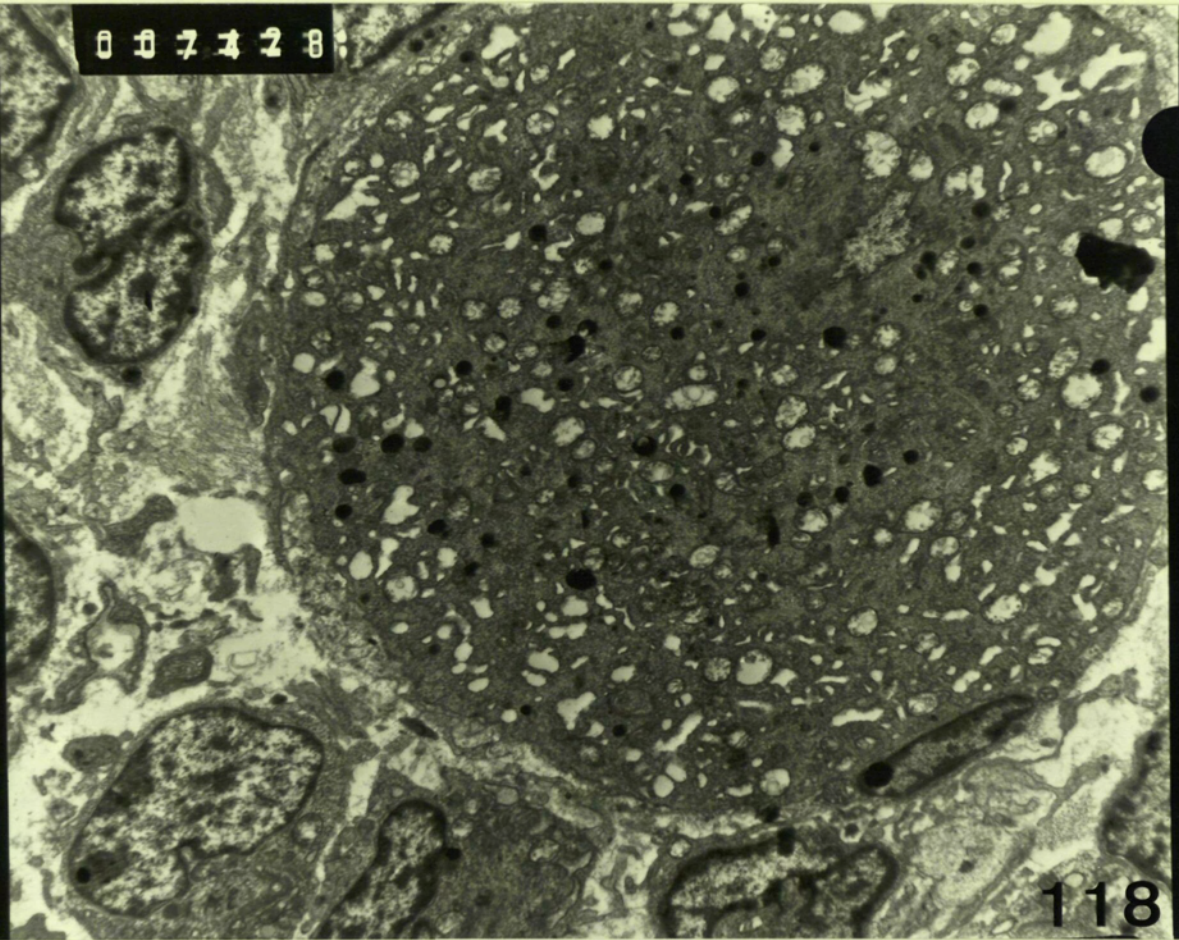
Fig.118:

Aspecto ultraestructural del citoplasma de un astroci-
to de un glioma cerebral mixto.

Fig.119:

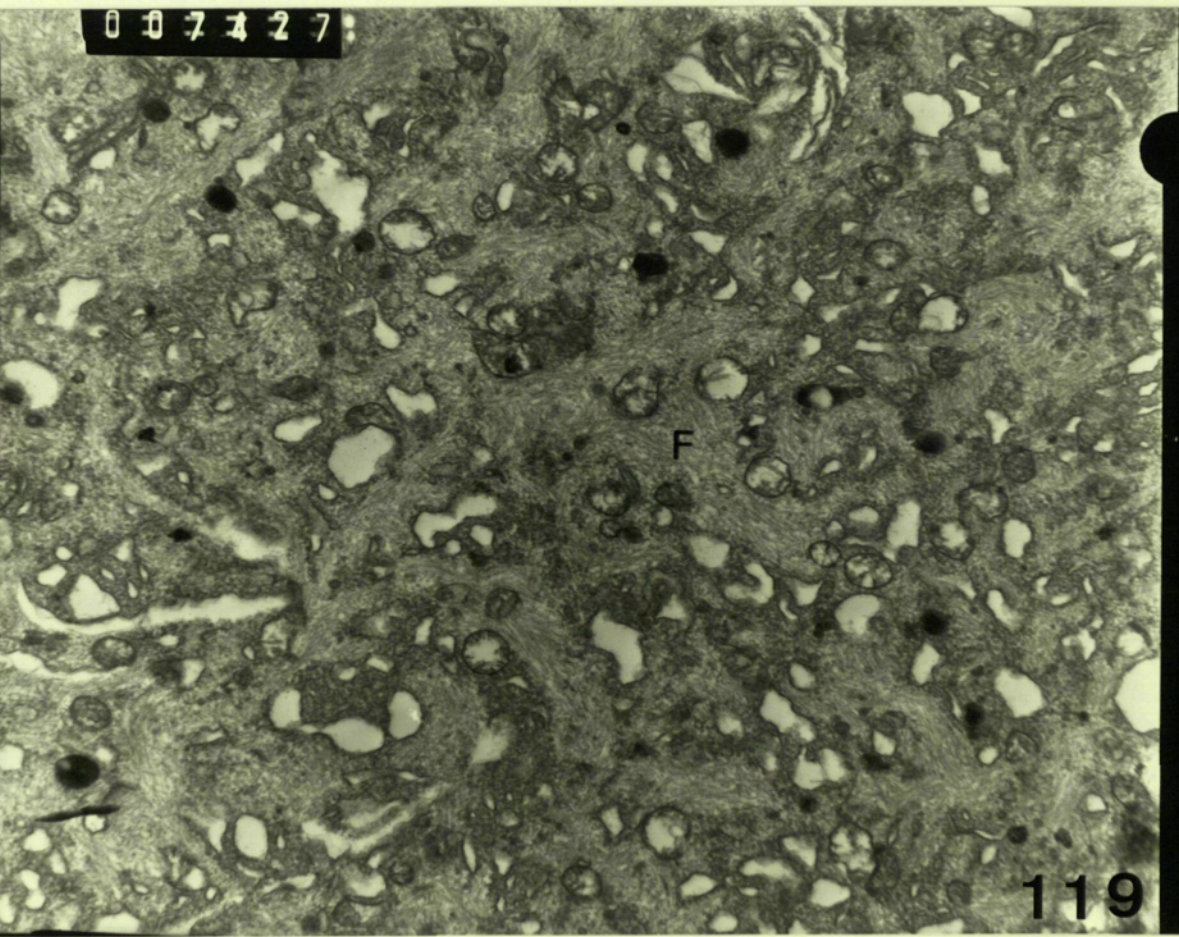
Detalle del citoplasma de la imagen anterior, en que se
observan abundante material filamentoso.

007428



118

007427



119

Fig.120:

Glioma cerebral con áreas indiferenciadas. Estructura rosetoide con un centro ocupado por las prolongaciones irregulares de las células constituyentes.

Fig.121:

Detalle de la Figura anterior. Las prolongaciones celulares se encuentran inmersas en un material amorfo electrondenso.

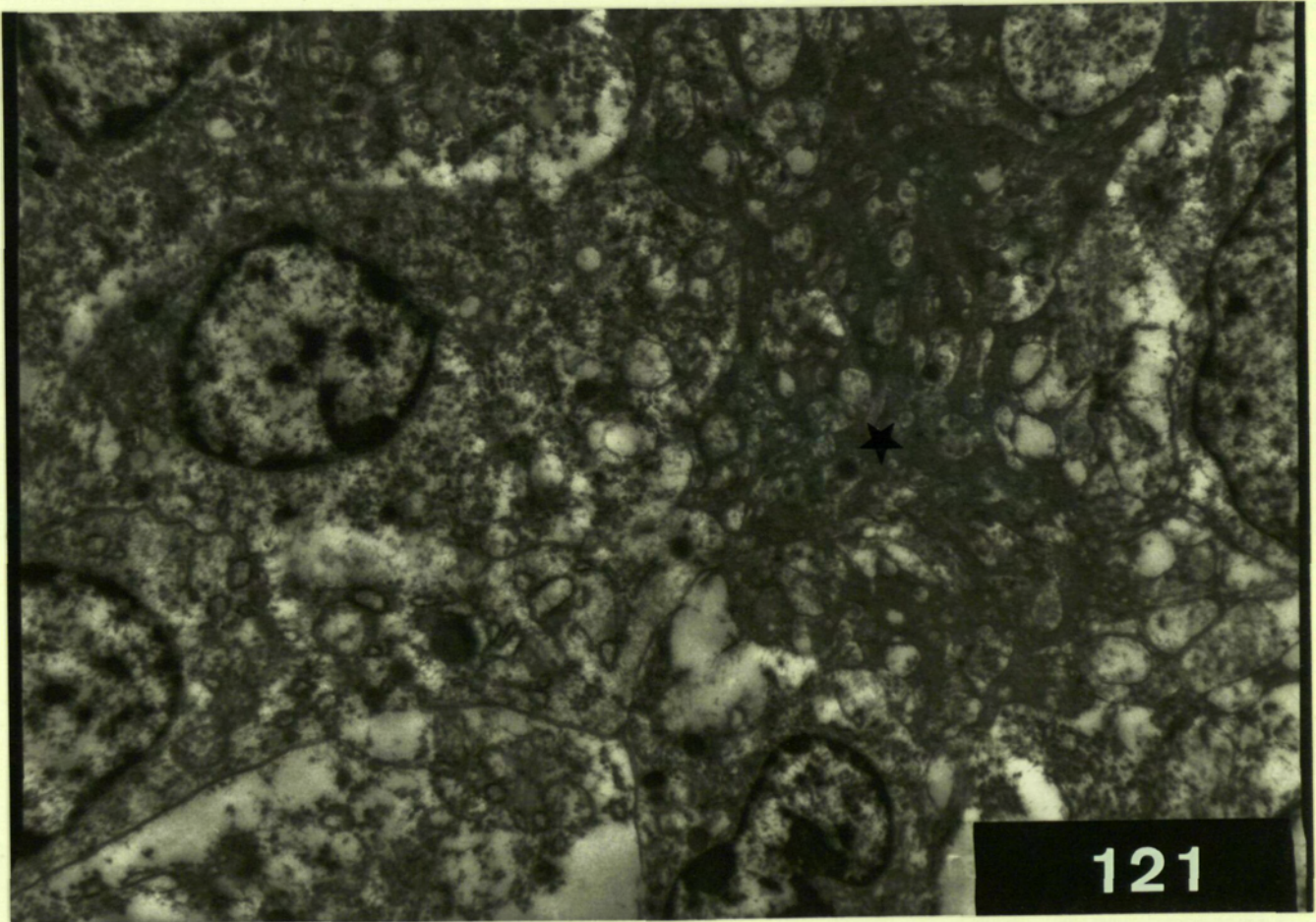
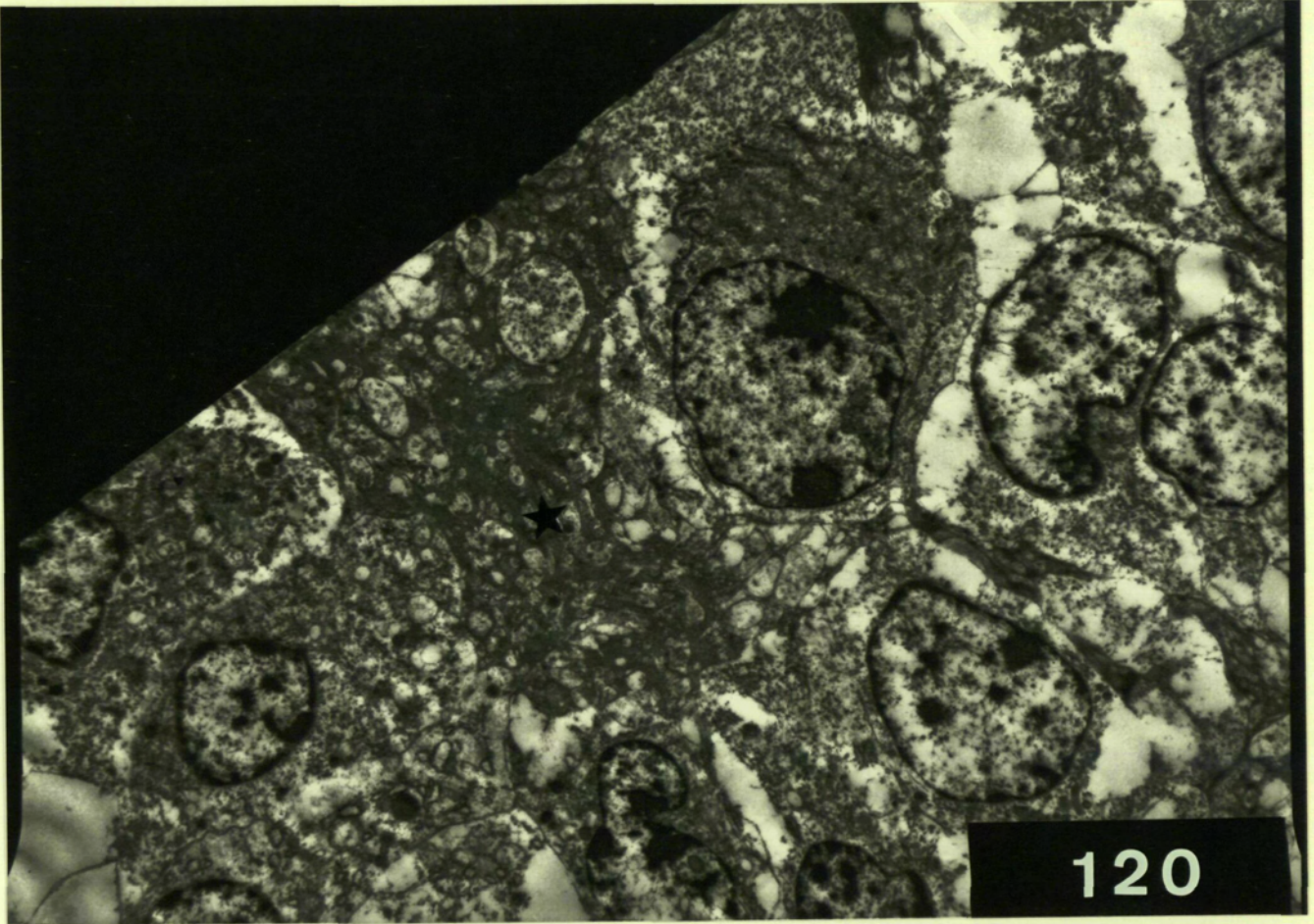


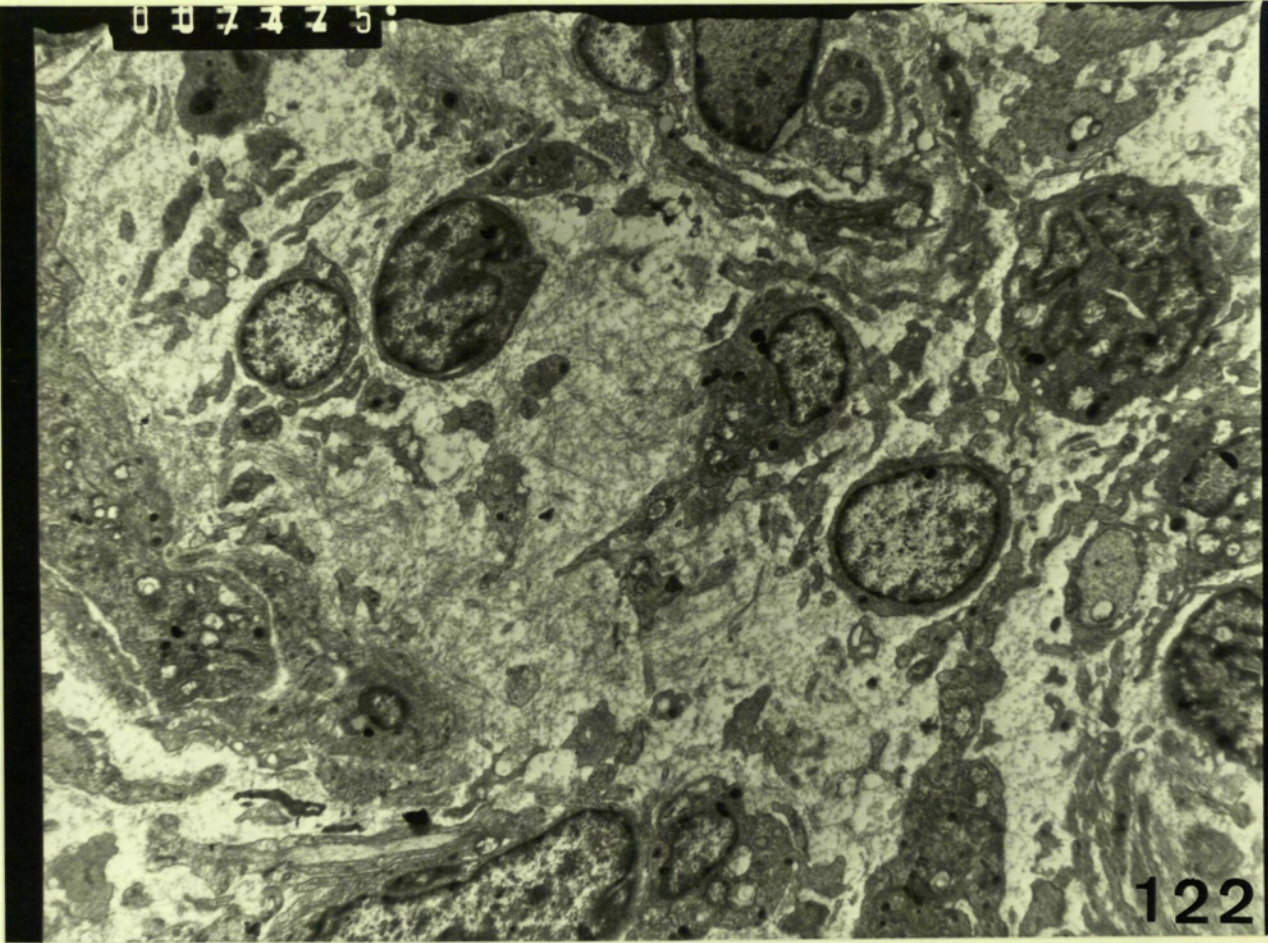
Fig.122:

Aspecto general de un tumor nervioso periférico. Las células tumorales son irregularmente fusiformes y emiten varias prolongaciones de grosor y longitud variables. El espacio intersticial contiene abundantes fibras colágenas y sustancia fundamental.

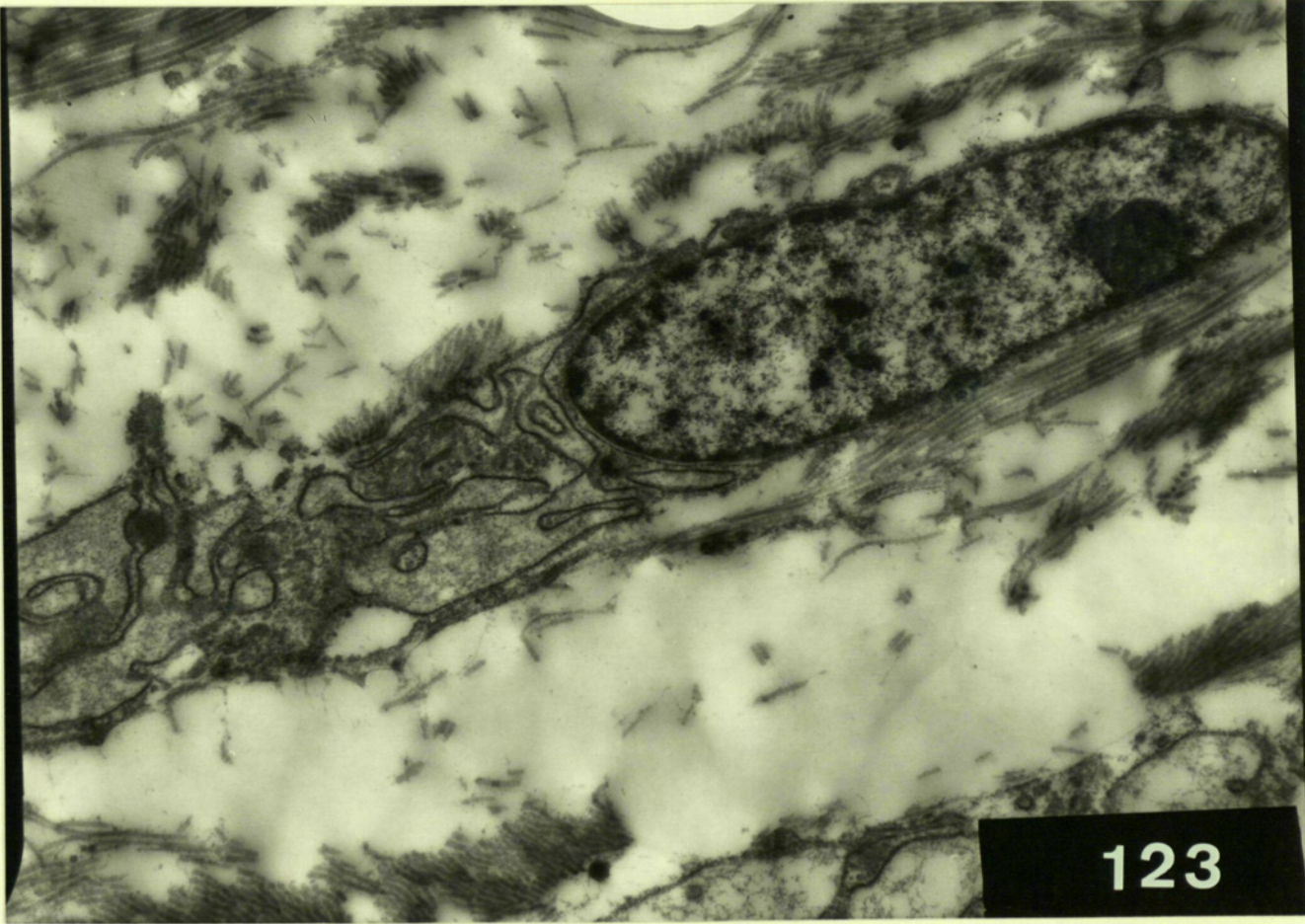
Fig.123:

Célula tumoral fusiforme con núcleo alargado y citoplasma prominente retículo endoplásmico rugoso dilatado. El aspecto ultraestructural es indistinguible del de un fibroblasto.

007425



122



123